

(449) 電縫鋼管の加熱溶接過程におけるHAZ形状変化について

川崎製鉄 技術研究所 横山栄一, 石本清司, 江島樹夫
知多工場 渡辺修三

1. 緒言 高周波加熱による電縫溶接管の製造において、溶接部周辺に生じる HAZ 形状は V-shape 部に流れる溶接電流、溶接速度などによって著しく影響を受け、溶接品質とも密接な関係を有する。そこで各種造管条件における V-shape 部の途中止めサンプルを採取し、各位置での HAZ 形状変化を測定するとともに、その昇温伝熱過程を非定常熱伝導と仮定し、差分法による伝熱計算を試み、造管時の動的な温度分布を推定したので以下に報告する。

2. 実験方法 API 5 LB 相当供試コイルにより、造管速度 $8 \sim 28 \text{ m/min}$ 、溶接入熱(中、高)と変化させ、管寸法 $114.3^\phi \times 6.28 \text{ mm}$ (小径ミル, 200 KHz 誘導加熱方式), $152.4^\phi \times 6.96 \text{ mm}$ (中径ミル, 450 KHz 搾触抵抗加熱方式)に造管し、V-shape 各位置での HAZ 形状を観察した。

3. 実験結果および考察 溶接奥までの各位置における HAZ 面積 S (片側)と加熱時間 t (ワーカコイルまではコンタクトチップからスクイズロール中心までの移動時間)の間には、 $S = A \exp[-B(t_0 - t)^2]$ なる関係が認められ、その代表例を図1に示す。(A, B, t_0 は定数) すなわち造管速度が遅いほど、入熱が高いほど HAZ 面積は増大する。造管条件の指標としてヒート係数 $K = E_p \cdot I_p / v \cdot r$ (E_p : kW -ルート電圧(KV), I_p : kW -ルート電流(A), v : 造管速度(m/min), r : 管厚(mm))と定義したとき、定数 A, B と K の間には図2 の関係が認められ、撲触抵抗加熱方式のほうが誘導加熱方式よりヒート係数 K は小さいものの、K による A, B の変動が大きく、最適造管条件選定範囲が狭くなることが示唆される。

V-shape 部において伝熱は円周方向 x にのみ生じる¹⁾ と仮定し、一次元非定常熱伝導の式: $\partial T / \partial t - \alpha \partial^2 T / \partial x^2 = F(x, t)$, 高周波電流浸透深さ $\delta = 503 \sqrt{s/\mu f}$, 表皮効果による円周方向への電流密度変化 $i = i_0 \exp(-x/\delta)$ を組み合わせ用いれば、長手方向各位置での円周方向温度分布を差分法により解くことができる。(α: 温度伝導率, μ : 比抵抗, μ : 透磁率, f : 周波数 Hz) いま本供試材の変態奥 $Ac_3 = 840^\circ\text{C}$, $Ac_1 = 712^\circ\text{C}$ とすると、ワーカコイルから溶接奥までの各位置 l における円周方向への Ac_3 , Ac_1 温度に到達する距離 x が求まり、これより等 Ac_3 , 等 Ac_1 温度曲線と HAZ 中央測定値 d とを比較したのが図3である。実測値はこの変態温度曲線のほぼ中间に位置しており、とくに溶接奥に近いほど等 Ac_3 曲線に近づく。本計算方法により各種造管条件における電縫溶接部の HAZ 形状を予測できることがわかった。

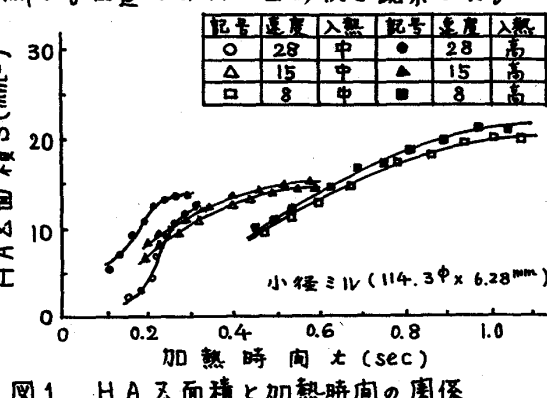


図1. HAZ面積と加熱時間の関係

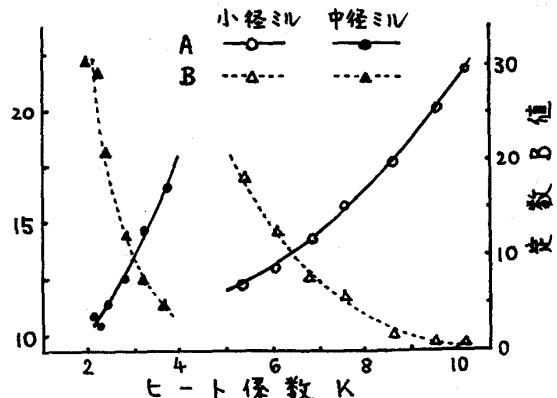


図2. 定数 A, B 値とヒート係数 K の関係

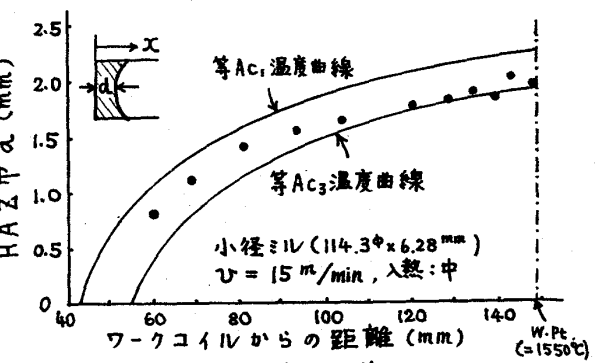


図3. HAZ 中央測定値と計算値の比較